

SKRIPSI

STUDI PERBAIKAN STRUKTUR RANGKA BETON BERTULANG PASCA KEBAKARAN PADA STRUKTUR DENGAN KETIDAKBERATURAN SUDUT DALAM



ERICH MARCELLINO
NPM : 6102001007

PEMBIMBING: Dr. Johannes Adhijoso Tjondro

UNIVERSITAS KATOLIK PARAHYANGAN
FAKULTAS TEKNIK
PROGRAM STUDI SARJANA TEKNIK SIPIL
(Terakreditasi Berdasarkan SK LAM Teknik No.0216/SK/LAM Teknik/AS/VIII/2023)
BANDUNG
JULI 2024

SKRIPSI

STUDI PERBAIKAN STRUKTUR RANGKA BETON BERTULANG PASCA KEBAKARAN PADA STRUKTUR DENGAN KETIDAKBERATURAN SUDUT DALAM



ERICH MARCELLINO
NPM : 6102001007

PEMBIMBING: Dr. Johannes Adhijoso Tjondro

UNIVERSITAS KATOLIK PARAHYANGAN
FAKULTAS TEKNIK
PROGRAM STUDI SARJANA TEKNIK SIPIL
(Terakreditasi Berdasarkan SK LAM Teknik No.0216/SK/LAM Teknik/AS/VIII/2023)
BANDUNG
JULI 2024

SKRIPSI

STUDI PERBAIKAN STRUKTUR RANGKA BETON BERTULANG PASCA KEBAKARAN PADA STRUKTUR DENGAN KETIDAKBERATURAN SUDUT DALAM



**ERICH MARCELLINO
NPM : 6102001007**

BANDUNG, JULI 2024

PEMBIMBING:

A handwritten signature in blue ink, appearing to read "Johannes Adhijoso Tjondro".

Dr. Johannes Adhijoso Tjondro

**UNIVERSITAS KATOLIK PARAHYANGAN
FAKULTAS TEKNIK
PROGRAM STUDI SARJANA TEKNIK SIPIL
(Terakreditasi Berdasarkan SK LAM Teknik No.0216/SK/LAM Teknik/AS/VIII/2023)
BANDUNG
JULI 2024**

SKRIPSI

STUDI PERBAIKAN STRUKTUR RANGKA BETON BERTULANG PASCA KEBAKARAN PADA STRUKTUR DENGAN KETIDAKBERATURAN SUDUT DALAM



**ERICH MARCELLINO
NPM : 6102001007**

PEMBIMBING: **Dr. Johannes Adhijoso Tjondro**

PENGUJI 1: **Lidya Fransisca Tjong, Ir., M.T.**

PENGUJI 2: **Sisi Nova Rizkiani, S.T., M.T.**

**UNIVERSITAS KATOLIK PARAHYANGAN
FAKULTAS TEKNIK
PROGRAM STUDI SARJANA TEKNIK SIPIL
(Terakreditasi Berdasarkan SK LAM Teknik No.0216/SK/LAM Teknik/AS/VIII/2023)**

**BANDUNG
JULI 2024**

LEMBAR PERNYATAAN

Saya yang bertanda tangan di bawah ini,

Nama : Erich Marcellino

Tempat, tanggal lahir : Batam, 6 September 2002

NPM : 6102001007

Judul skripsi : **STUDI PERBAIKAN STRUKTUR RANGKA
BETON BERTULANG PASCA KEBAKARAN
PADA STRUKTUR DENGAN
KETIDAKBERATURAN SUDUT DALAM**

Dengan ini Saya menyatakan bahwa karya tulis ini adalah benar hasil karya tulis saya sendiri dan bebas plagiat. Adapun kutipan yang tertuang sebagian atau seluruh bagian pada karya tulis ini yang merupakan karya orang lain (buku, makalah, karya tulis, materi perkuliahan, internet, dan sumber lain) telah selayaknya saya kutip, sadur, atau tafsir dan dengan jelas telah melampirkan sumbernya. Bahwa tindakan melanggar hak cipta dan yang disebut plagiat merupakan pelanggaran akademik yang sanksinya dapat berupa peniadaan pengakuan atas karya ilmiah ini dan kehilangan hak kesarjanaan.

Demikian pernyataan ini saya buat dengan penuh kesadaran dan tanpa paksaan dari pihak manapun.

(Kutipan pasal 25 ayat 2 UU no. 20 tahun 2003)

Bandung, 8. Juli 2024

E-Materai dan Tandatangan Mhs



Erich Marcellino

6102001007

STUDI PERBAIKAN STRUKTUR RANGKA BETON BERTULANG PASCA KEBAKARAN PADA STRUKTUR DENGAN KETIDAKBERATURAN SUDUT DALAM

**ERICH MARCELLINO
NPM: 6102001007**

Pembimbing: Dr. Johannes Adhijoso Tjondro

**UNIVERSITAS KATOLIK PARAHYANGAN
FAKULTAS TEKNIK
PROGRAM STUDI SARJANA TEKNIK SIPIL
(Terakreditasi Berdasarkan SK LAM Teknik No.0216/SK/LAM Teknik/AS/VIII/2023)**

**BANDUNG
JULI 2024**

ABSTRAK

Kebakaran dapat menyebabkan kerusakan signifikan pada struktur dan elemen bangunan, sehingga membahayakan keselamatan penghuninya dan menghambat fungsi gedung. Struktur yang mengalami kebakaran akan berkurang kekakuan dan kekuatannya tetapi masih memiliki kekuatan sisa. Penurunan kekuatan elemen struktur akibat kebakaran menyebabkan elemen struktur tidak dapat menahan beban gravitasi dan gempa sesuai dengan fungsi bangunan semula. Retrofit struktur paska kebakaran merupakan upaya untuk memperkuat dan memperbaiki struktur dan elemen bangunan yang telah mengalami kebakaran, dengan tujuan untuk mengembalikan fungsi, kekuatan, kekakuan, dan daktilitas dari struktur. Pada penelitian ini, struktur yang di-retrofit adalah struktur rangka pemikul momen khusus beton bertulang 9 lantai dengan ketidakberaturan sudut dalam. *Retrofit* lokal dilakukan dengan penambahan tulangan pada kolom dan balok dengan metode *Near Surface Mounted Rod* sesuai dengan kebutuhan masing-masing model. Struktur akan dianalisis menggunakan analisis respons spektrum dan analisis riwayat waktu. Analisis riwayat waktu menggunakan rekaman percepatan tanah dasar gempa El Centro N-S tahun 1940, Bucharest N-S tahun 1977, Flores tahun 1992, Parkfield N65E tahun 1966, dan Denpasar Timur-Barat tahun 1979.

Berdasarkan hasil analisis respons spektrum, struktur pada suhu kebakaran mencapai 400°C memerlukan *retrofit* pada elemen balok saja, sedangkan struktur pada suhu kebakaran mencapai 800°C memerlukan *retrofit* pada elemen balok dan kolom. Berdasarkan hasil analisis riwayat waktu, seluruh model struktur memerlukan retrofit pada beberapa kolom yang berlokasi di lantai paling dasar. Peralihan antar lantai pada kedua metode analisis menunjukkan hasil yang baik dimana peralihan lantai tersebut telah memenuhi *drift* izin. Hasil analisis riwayat waktu juga menunjukkan nilai faktor kuat lebih (Ω_0) untuk Model 1, 2, 3, 4, 5 dan 6 berturut-turut sebesar 3,82, 3,56, 3,61, 3,60, 3,55, dan 3,6. Faktor pembesaran defleksi (C_d) untuk Model 1, 2, 3, 4, 5 dan 6 berturut-turut sebesar 6,25, 6,43, 6,28, 6,50, 6,40, dan 6,38. Taraf kinerja gedung setelah diberikan retrofit lokal mengalami peningkatan yang semula melewati batas *collapse prevention* memiliki taraf kinerja *Life Safety*.

Kata Kunci: suhu kebakaran, *retrofit*, *near surface mounted rod*, analisis respons spektrum, analisis riwayat waktu, taraf kinerja

RETROFITTING STUDY OF REINFORCED CONCRETE FRAME STRUCTURES WITH INTERNAL CORNER IRREGULARITY AFTER FIRE

**ERICH MARCELLINO
NPM: 6102001007**

Advisor: Dr. Johannes Adhijoso Tjondro

**PARAHYANGAN CATHOLIC UNIVERSITY
FACULTY OF ENGINEERING
DEPARTMENT OF CIVIL ENGINEERING
BACHELOR PROGRAM**

(Accredited by SK LAM Teknik No.0216/SK/LAM Teknik/AS/VIII/2023)

**BANDUNG
JULY 2024**

ABSTRACT

Fire can cause significant damage to building structures and elements, endangering the safety of occupants and hindering building function. Structures that have experienced fire are reduced their stiffness and strength and still have residual strength. The decrease in the strength of structural elements due to fire causes the structural elements to be unable to withstand gravity loads and earthquakes in accordance with the original building function. Post-fire structural retrofitting is an effort to strengthen and repair structures and building elements that have been damaged by fire, with the aim of restoring the function, strength, stiffness, and ductility of the structure. In this study, the structure that is retrofitted is a 9-story reinforced concrete special moment frame structure with corner discontinuities. Local retrofitting is carried out on the structure by adding reinforcement to columns and beams using the near surface mounted rod method according to the needs of each model. The structure will be analyzed using response spectrum analysis and time history analysis. Time history analysis uses the earthquake ground acceleration records of El Centro N-S in 1940, Bucharest N-S in 1977, Flores in 1992, Parkfield N65E in 1966, and Denpasar Timur-Barat in 1979.

Based on the results of spectrum response analysis, the structure with a fire temperature of 400°C requires retrofitting on beam elements only, while the structure with a fire temperature of 800°C requires retrofitting on beam and column elements. Based on the results of time history analysis, all structural models require retrofitting on some columns located on the lowest floor. The inter-story transition for both analysis methods shows good results where the inter-story transition has met the allowable drift. The results of the time history analysis also show the value of the overstrength factor (Ω_0) for Model 1, 2, 3, 4, 5, and 6 are 3.82, 3.56, 3.61, 3.60, 3.55, and 3.60. The deflection amplification factor (Cd) for Model 1, 2, 3, 4, 5, and 6 are 6.25, 6.43, 6.28, 6.50, 6.40, and 6.38. The performance level of the building after local retrofitting has increased from previously exceeding the collapse prevention limit become life safety performance level.

Keywords: fire temperature, retrofit, near surface mounted rod, time history analysis, performance level

PRAKATA

Puji syukur penulis panjatkan kepada Tuhan yang Maha Esa karena atas berkat dan rahmatNya penulis dapat menyelesaikan skripsi yang berjudul “STUDI PERBAIKAN STRUKTUR RANGKA BETON BERTULANG PASCA KEBAKARAN PADA STRUKTUR DENGAN KETIDAKBERATURAN SUDUT DALAM”. Penyusunan skripsi ini merupakan salah satu syarat kelulusan program Sarjana Teknik Sipil, Universitas Katolik Parahyangan.

Dalam proses penyusunan skripsi, penulis mengalami banyak hambatan dan kesulitan. Penulis berterimakasih pada semua pihak yang membantu penulis secara mental, ilmu, dan finansial sehingga skripsi ini dapat terselesaikan dengan baik dan tepat waktu. Oleh karena itu penulis ingin menyampaikan terima kasih kepada :

1. Dr. Johannes Adhijoso Tjondro selaku dosen pembimbing yang selalu membimbing penulis selama proses penyusunan skripsi ini.
2. Orang tua penulis, Yap Kuang Jong dan Lim Cu, yang selalu memberikan dukungan secara mental dan finansial selama proses penyusunan skripsi.
3. Seluruh dosen penguji yang telah memberikan kritik dan saran terkait skripsi ini.
4. Angeline Audrey yang senantiasa memberikan dukungan selama proses penyusunan skripsi.
5. Teman-teman terutama Kevin Nathanael, Grady Artha Chandra, Fioni Citra Effendi, dan Kendra Nathanael yang selalu memberikan dukungan dan semangat kepada penulis.
6. Semua pihak yang telah membantu dan memberi dukungan selama penulisan skripsi ini

Penulis menyadari bahwa skripsi ini masih jauh dari kata sempurna mengingat keterbatasan waktu dan keterbatasan kemampuan penulis sehingga penulis terbuka untuk saran dan kritik yang dapat membantu menyempurnakan skripsi ini.

Akhir kata penulis berharap skripsi ini dapat berguna bagi seluruh pembaca, terutama bagi mahasiswa Teknik Sipil Universitas Katolik Parahyangan yang ingin mengembangkan skripsi ini.

Bandung, 19 Juli 2024

Penulis,



Erich Marcellino

6102001007



DAFTAR ISI

PRAKATA	v
DAFTAR ISI	vii
DAFTAR NOTASI DAN SINGKATAN	xv
DAFTAR GAMBAR	xix
DAFTAR TABEL	xxxii
BAB 1 PENDAHULUAN	1
1.1 Latar Belakang	1
1.2 Masalah Penelitian	3
1.3 Tujuan Penelitian	3
1.4 Pembatasan Masalah	3
1.5 Metode Penelitian	7
1.6 Diagram Alir	9
1.7 Sistematika Penulisan	11
BAB 2 DASAR TEORI	12
2.1 Teori Kegempaan Berdasarkan SNI 1726:2019	12
2.1.1 Gempa Rencana	12
2.1.2 Faktor Keutamaan Gempa dan Kategori Risiko Struktur Bangunan	12
2.1.3 Kombinasi Beban untuk Metode Ultimit	14
2.1.3.1 Kombinasi Pembebatan Dasar	14
2.1.3.2 Kombinasi Pembebatan dengan Pengaruh Beban Seismik	14
2.1.4 Klasifikasi Situs	15

2.1.5 Koefisien Situs dan Parameter Respons Spektral Percepatan Gempa Maksimum yang Dipertimbangkan Risiko Tertarget (MCE _R).....	15
2.1.6 Parameter Percepatan Spektral Desain.....	17
2.1.7 Spektrum Respons Desain.....	17
2.1.8 Kategori Desain Seismik	18
2.1.9 Spektrum Respons Gempa Maksimum yang Dipertimbangkan Risiko Tertarget (Risk-Targeted Maximum Considered Earthquake/MCE _R)	19
2.1.10 Sistem Struktur Pemikul Gaya Seismik	19
2.1.11 Nilai R, Cd, dan Ω_0 untuk Kombinasi Vertikal	20
2.1.12 Nilai R, Cd, dan Ω_0 untuk Kombinasi Horizontal	21
2.1.13 Persyaratan Pendetailan pada Kombinasi Sistem Rangka ...	21
2.1.14 Persyaratan Sistem Ganda	21
2.1.15 Sistem Interaktif Dinding Geser Rangka.....	21
2.1.16 Ketidakberaturan Horizontal dan Vertikal Struktur yang Terlarang untuk Kategori Desain Seismik D sampai F.....	21
2.1.17 Ketidakberaturan Horizontal	22
2.1.18 Ketidakberaturan Vertikal	24
2.1.19 Faktor Redundansi	25
2.1.20 Pengaruh Beban Seismik.....	26
2.1.21 Pengaruh Beban Seismik Termasuk Faktor Kuat Lebih	27
2.1.22 Arah Pembebanan	28
2.1.23 Gaya Lateral Ekivalen.....	28
2.1.24 Penentuan Periode Fundamental.....	29
2.1.25 Torsi Bawaan	30
2.1.26 Torsi Tak Terduga.....	31

2.1.27	Pembesaran Momen Torsi Tak Terduga	31
2.1.28	Penentuan Simpangan Antar Tingkat.....	32
2.1.29	Batasan Simpangan Antar Tingkat	33
2.1.30	Pengaruh P-delta	34
2.1.31	Jumlah Ragam	34
2.1.32	Penskalaan Gaya	35
2.1.33	Penskalaan Simpangan.....	35
2.2	SNI 1727:2020 Beban Desain Minimum dan Kriteria Terkait untuk Bangunan Gedung dan Struktur Lain.....	35
2.2.1	Beban Mati	35
2.2.2	Beban Hidup	35
2.2.2.1	Reduksi Beban Hidup Merata	35
2.3	SNI 2847:2019 Persyaratan Beton Struktural untuk Bangunan Gedung dan Penjelasan	36
2.3.1	Pelat Dua Arah.....	36
2.3.1.1	Tebal Pelat.....	36
2.3.1.2	Lendutan Izin.....	37
2.3.1.3	Tulangan Minimum	37
2.3.2	Balok	38
2.3.2.1	Tinggi Balok.....	38
2.3.2.2	Luas Tulangan minimum	38
2.3.2.4	Balok-T	39
2.3.3	Kolom	40
2.3.4	Selimut Beton	41
2.4	Beton Bertulang Pasca Bakar	42
2.4.1	Suhu Beton dan Tulangan Baja	42

2.4.1.1 Perhitungan temperature beton dan tulangan baja pada suhu 400 °C dengan durasi 2 jam	43
2.4.1.2 Perhitungan temperature beton dan tulangan baja pada suhu 800 °C dengan durasi 2 jam	43
2.4.2 Kuat Tekan Beton	44
2.4.3 Modulus Elastisitas Beton	45
2.4.4 Tegangan Lelah Tulangan Baja	47
2.4.5 Modulus Elastisitas Tulangan Baja.....	48
2.5 ASCE 41-17 Seismic Evaluation and Retrofit of Existing Buildings	
48	
2.5.1 Cakupan ASCE 41-17	48
2.5.2 Proses Retrofit Seismik	48
2.5.2.1 Konsiderasi Inisial	48
2.5.2.2 Pemilihan Tujuan Kinerja	49
2.5.2.3 Tingkat Kegempaan.....	49
2.5.2.4 Informasi Pembangunan	49
2.5.2.5 Prosedur Retrofit	49
2.5.2.6 Tindakan Retrofit.....	50
2.5.2.7 Verifikasi Desain Retrofit.....	50
2.5.2.8 Dokumen Konstruksi	50
2.5.2.9 Jaminan Kualitas	50
2.5.3 Tingkat dan Rentang Kinerja Struktural	51
2.5.3.1 Immediate Occupancy (S-1).....	51
2.5.3.2 Enhanced Safety Structural Performance Range.....	51
2.5.3.3 Damage Control Structural Performance (S-2).....	51
2.5.3.4 Life Safety Structural Performance (S-3)	51

2.5.3.5	Reduced Safety Structural Performance (S-4)	51
2.5.3.6	Collapse Prevention Structural Performance (S-5) ..	51
2.5.3.7	Structural Performance Not Considered (S-6)	51
2.6	Perilaku Nonlinear Material	52
2.7	Sendi Plastis.....	57
2.8	Analisis Riwayat Waktu	58
2.8.1	Rekaman Percepatan Gempa	59
2.9	Penskalaan Percepatan Gempa	60
2.9.1	<i>Spectral Matching in Time Domain</i>	60
2.9.1	<i>Spectral Matching in Time Domain</i>	60
2.10	Metode Integrasi Hilber Hughes Taylor.....	60
2.11	Near Surface Mounted Rod Retrofitting	61
BAB 3	ANALISIS RESPON SPEKTRUM DAN RETROFIT	63
3.1	Respons Spektrum Analysis Model Sebelum Terjadi Kebakaran ...	63
3.1.1	Informasi Pemodelan	63
3.1.2	Data Struktur.....	63
3.1.3	Data Material	64
3.1.4	Pembelahan.....	64
3.1.4.1	Beban Mati (Dead Load)	64
3.1.4.2	Beban Mati Tambahan.....	64
3.1.4.3	Beban Hidup	65
3.1.5	Beban Gempa.....	65
3.1.6	Kombinasi Pembelahan	66
3.1.7	Preliminary Design	67
3.1.8	Jumlah Ragam	67
3.1.9	Faktor Skala.....	68

3.1.10 Pengecekan Simpangan Antar Lantai	68
3.1.11 Ketidakberaturan Horizontal	68
3.1.12 Ketidakberaturan Vertikal	70
3.1.13 Penulangan Elemen Struktur	73
3.2 Respons Spektrum Analysis Model Pasca Kebakaran.....	75
3.2.1 Kebakaran Suhu 400°C	76
3.2.1.1 Model 1	76
3.2.1.1.1 Jumlah Ragam.....	78
3.2.1.1.2 Faktor Skala	78
3.2.1.1.3 Pengecekan Simpangan Antar Lantai.....	78
3.2.1.1.4 Ketidakberaturan Horizontal.....	79
3.2.1.1.5 Ketidakberaturan Vertikal	81
3.2.1.1.6 Penulangan Elemen Struktur	84
3.2.1.2 Model 2	88
3.2.1.2.1 Jumlah Ragam.....	90
3.2.1.2.2 Faktor Skala	90
3.2.1.2.3 Pengecekan Simpangan Antar Lantai.....	90
3.2.1.2.4 Ketidakberaturan Horizontal.....	90
3.2.1.2.5 Ketidakberaturan Vertikal	93
3.2.1.2.6 Penulangan Elemen Struktur	96
3.2.1.3 Model 3	100
3.2.1.3.1 Jumlah Ragam.....	102
3.2.1.3.2 Faktor Skala	102
3.2.1.3.3 Pengecekan Simpangan Antar Lantai.....	102
3.2.1.3.4 Ketidakberaturan Horizontal.....	103
3.2.1.3.5 Ketidakberaturan Vertikal	105
3.2.1.3.6 Penulangan Elemen Struktur	108
3.2.2 Kebakaran Suhu 800°C	111
3.2.2.1 Model 4.....	112
3.2.2.1.1 Jumlah Ragam.....	114

3.2.2.1.2 Faktor Skala	114
3.2.2.1.3 Pengecekan Simpangan Antar Lantai.....	114
3.2.2.1.4 Ketidakberaturan Horizontal.....	114
3.2.2.1.5 Ketidakberaturan Vertikal	117
3.2.2.1.6 Penulangan Elemen Struktur	120
3.2.2.2 Model 5	124
3.2.2.2.1 Jumlah Ragam.....	126
3.2.2.2.2 Faktor Skala	126
3.2.2.2.3 Pengecekan Simpangan Antar Lantai.....	126
3.2.2.2.4 Ketidakberaturan Horizontal.....	127
3.2.2.2.5 Ketidakberaturan Vertikal	130
3.2.2.2.6 Penulangan Elemen Struktur	133
3.2.2.3 Model 6	137
3.2.2.3.1 Jumlah Ragam.....	139
3.2.2.3.2 Faktor Skala	139
3.2.2.3.3 Pengecekan Simpangan Antar Lantai.....	139
3.2.2.3.4 Ketidakberaturan Horizontal.....	140
3.2.2.3.5 Ketidakberaturan Vertikal	143
3.2.2.3.6 Penulangan Elemen Struktur	146
BAB 4 ANALISIS RIWAYAT WAKTU DAN PEMBAHASAN	149
4.1 Parameter Analisis Riwayat Waktu	149
4.2 Retrofit Struktur.....	151
4.2.1 Model 1	152
4.2.2 Model 2	154
4.2.3 Model 3	155
4.2.4 Model 4	157
4.2.5 Model 5	159
4.2.6 Model 6	161
4.3 Peralihan Lantai Maksimum.....	162
4.4 Rasio Simpangan Antar Lantai.....	167

4.5	Sendi Plastis.....	172
4.5.1	Model 1	172
4.5.2	Model 2	177
4.5.3	Model 3	182
4.5.4	Model 4	187
4.5.5	Model 5	192
4.5.6	Model 6	197
4.6	Taraf Kinerja.....	202
4.7	Gaya Geser Dasar dan Faktor Kuat Lebih.....	204
4.8	Faktor Pembesaran Defleksi.....	206
	BAB 5 KESIMPULAN DAN SARAN	212
5.1	Kesimpulan.....	212
5.2	Saran.....	213
	DAFTAR PUSTAKA	215
	LAMPIRAN 1 PRELIMINARY DESIGN	217
	LAMPIRAN 2 FAKTOR SKALA	220
	LAMPIRAN 3 TULANGAN TRANSVERSAL RESPONS SPEKTRUM ANALISIS.....	232

DAFTAR NOTASI DAN SINGKATAN

Δ_a	= Simpangan antar tingkat izin
A_{ch}	= Luas penampang komponen struktur yang diukur sampai tepi luar tulangan transversal
ACI	= <i>American Concrete Institute</i>
A_g	= Luas penampang <i>gross</i>
A_s	= Luas tulangan
ASCE	= <i>The American Society of Civil Engineers</i>
A_T	= Luas tributary
A_x	= Faktor pembesaran torsi
b_w	= Lebar penampang persegi
c	= Selimut beton
Cd	= Faktor pembesaran defleksi
CP	= <i>Collapse Prevention</i>
CRFP	= <i>Carbon Fiber Reinforced Polymer</i>
C_s	= Koefisien respons seismic
C_t	= Parameter pendekatan periode fundamental struktur
D	= Beban mati termasuk SIDL
d	= Tinggi efektif
D/C	= <i>Demand/Capacity</i>
E_c	= Modulus elastisitas beton
E_h	= Beban gempa Horizontal
E_{mh}	= Pengaruh beban seismik horizontal termasuk faktor kuat lebih

E_{mv}	= Pengaruh beban seismik vertikal termasuk faktor kuat lebih
E_s	= Modulus elastisitas baja
ETABS	= <i>Extended Three-Dimensional Analysis of Building Systems</i>
E_v	= Beban gempa vertikal
F_a	= Faktor amplifikasi mencakup amplifikasi percepatan gempa pada getaran periode pendek
f_c'	= Kuat tekan beton
FRP	= <i>Fiber Reinforced Polymer</i>
F_v	= Faktor amplifikasi percepatan gempa pada getaran periode getar 1 detik
f_y	= Tegangan leleh tulangan baja
h	= Tebal pelat nonprategang
HHT	= Hilber-Hughes-Taylor
h_n	= Ketinggian struktur
I_e	= Faktor Keutamaan gempa
IO	= <i>Immediate Occupancy</i>
KDS	= Kategori desain seismik
K_{LL}	= Faktor elemen beban hidup
L	= Beban Hidup
L_0	= Beban hidup desain tanpa reduksi
l_n	= Bentang bersih dari kolom ke kolom
Lr	= Beban Hujan
LS	= <i>Life Safety</i>
MCE_R	= <i>Risk-Targeted Maximum Considered Earthquake</i>

M_t	= Momen torsi bawaan
M_{ta}	= Momen torsi tak terduga
NSM	= <i>Near Surface Mounted Rod</i>
P_u	= Gaya aksial ultimit yang diterima elemen struktur
R	= Koefisien modifikasi respons
S_1	= Parameter respons spektral percepatan gempa MCE _R terpetakan untuk periode 1 detik
S_{D1}	= Parameter percepatan spektral desain untuk periode 1 detik
S_{Ds}	= Parameter percepatan spektral desain untuk periode pendek
SIDL	= <i>Super Imposed Dead Load</i>
S_{M1}	= Parameter respon spektral percepatan pada periode 1 detik
S_{Ms}	= Parameter respon spektral percepatan pada periode pendek
SNI	= Standar Nasional Indonesia
SRPMK	= Struktur Rangka Pemikul Momen Khusus
S_s	= Parameter respons spektral percepatan gempa MCE _R terpetakan untuk periode pendek
S_w	= Bentang bersih dari balok ke balok
T_a	= Periode fundamental pendekatan
T_L	= Transisi periode panjang
V	= Gaya geser dasar static
V_t	= Gaya geser dasar analisis ragam
W	= Berat seismic Efektif
δ_{avg}	= Rata-rata perpindahan di titik-titik terjauh struktur di tingkat x yang dihitung dengan mengasumsikan $A_x = 1$

- δ_{\max} = Perpindahan maksimum di tingkat x yang dihitung dengan mengasumsikan $A_x = 1$
- δ_x = Simpangan di tingkat-x yang ditentukan dengan analisis elastik
- ρ = Faktor redundansi
- Ω_0 = Faktor kuat lebih sistem
- γ_b = Berat jenis beton



DAFTAR GAMBAR

Gambar 1.1 Denah Tipikal Lantai.....	4
Gambar 1.2 Model 3D Gedung.....	4
Gambar 1.3 Kebakaran di Seluruh Lantai 1-2-3	5
Gambar 1.4 Elemen Struktur Yang Mengalami Penurunan Kekuatan Akibat Kebakaran Lantai 1-2-3.....	5
Gambar 1.5 Kebakaran di Sebagian Lantai 4-5-6.....	5
Gambar 1.6 Elemen Struktur Yang Mengalami Penurunan Kekuatan Akibat Kebakaran Lantai 4-5-6.....	6
Gambar 1.7 Kebakaran di Seluruh Lantai 7-8-9	6
Gambar 1.8 Elemen Struktur Yang Mengalami Penurunan Kekuatan Akibat Kebakaran Lantai 7-8-9.....	6
Gambar 2.1 Peta Transisi Periode Panjang, TL, Wilayah Indonesia (sumber : Gambar 20 SNI 1726:2019)	18
Gambar 2.2 Spektrum Respons Desain (sumber: Gambar 3 SNI 1726:2019)	18
Gambar 2.3 Ketidakberaturan Horizontal (sumber: Gambar 5 SNI 1726:2019).23	
Gambar 2.4 Ketidakberaturan Vertikal (sumber: Gambar 6 SNI 1726:2019)....	25
Gambar 2.5 Faktor Pembesaran Torsi, A_x (sumber: Gambar 9 SNI 1726:2019)	32
Gambar 2.6 Penentuan Simpangan Antar Tingkat (sumber: Gambar 10 SNI 1726:2019)	33
Gambar 2.7 Kuat Tekan Beton pada Temperatur Tinggi (sumber: Fig 3-29 Reinforced Concrete, Mechanics and Design 5th ed).....	44
Gambar 2.8 Kuat Tekan Beton Pada Temperatur Tinggi menurut ACI 216R-89 (sumber: Fig. 6.1.1 ACI 216R-89).....	45
Gambar 2.9 Modulus Elastisitas Beton Pada Temperatur Tinggi (sumber: Fig. 2.16 Fire Engineering of Structures Analysis and Design)	46

Gambar 2.10 Modulus Elastisitas Beton Pada Temperatur Tinggi (sumber: Fig. 6.3.1 ACI 216R-89)	46
Gambar 2.11 Tegangan Leleh Tulangan Baja pada Temperatur Tinggi (sumber: Fig. 3-34 Reinforced Concrete, Mechanics and Design 5 th Ed).....	47
Gambar 2.12 Tegangan Leleh Tulangan Baja pada Temperatur Tinggi (sumber: Fig. 5.1 ACI 216R-89)	47
Gambar 2.13 Modulus Elastistas Tulangan Baja pada temperature tinggi (sumber: Fig. 6.20 Structural Design for Fire Safety)	48
Gambar 2.14 Histeresis Elastis (sumber: docs.csiamerica.com)	52
Gambar 2.15 Histeresis Kinematik (sumber: docs.csiamerica.com)	53
Gambar 2.16 Histeresis Takeda (sumber: docs.csiamerica.com)	53
Gambar 2.17 Parameter dan Perilaku Pivot (sumber: docs.csiamerica.com).....	54
Gambar 2.18 Histeresis Pivot (sumber: docs.csiamerica.com).....	54
Gambar 2.19 Histeresis BRB (sumber: docs.csiamerica.com)	55
Gambar 2.20 Histeresis Degrading, Elastic Degradation (sumber: docs.csiamerica.com)	55
Gambar 2.21 Histeresis Degrading, Stiffness Degradation (sumber: docs.csiamerica.com)	56
Gambar 2.22 Histeresis Degrading, 0.5 Elastic + 0.5 Stiffness Degradation (sumber: docs.csiamerica.com)	56
Gambar 2.23 Histeresis Isotropic (sumber: docs.csiamerica.com)	57
Gambar 2.24 Histeresis Concrete (sumber: docs.csiamerica.com).....	57
Gambar 2.25 Rekaman Percepatan Gempa El Centro	59
Gambar 2.26 Rekaman Percepatan Gempa Bucharest.....	59
Gambar 2.27 Rekaman Percepatan Gempa Flores.....	60
Gambar 2.28 Rekaman Percepatan Gempa Parkfield	60
Gambar 2.29 Rekaman Percepatan Gempa Denpasar	60

Gambar 2.30 NSM System (Lorenzis & Teng, 2007).....	62
Gambar 2.31 Retrofitting NSM	62
Gambar 3.1 Respon Spektra Jakarta Kelas Situs SE (sumber: rsa.ciptakarya.pu.go.id).....	66
Gambar 3.2 Denah Struktur Tipikal.....	70
Gambar 3.3 3D View Model 1.....	77
Gambar 3.4 Denah Struktur Model 1 yang Mengalami Penurunan Kekuatan	77
Gambar 3.5 Elevasi Struktur Model 1 yang Mengalami Penurunan Kekuatan...	78
Gambar 3.6 Denah Struktur Tipikal	81
Gambar 3.7 Lokasi Retrofit Balok T Model 1 Lantai 2, 3, dan 4	87
Gambar 3.8 Lokasi Retrofit Balok Anak Model 1 Lantai 2 dan 3	87
Gambar 3.9 3D View Model 2.....	88
Gambar 3.10 Denah Struktur Model 2 yang Mengalami Penurunan Kekuatan ..	89
Gambar 3.11 Elevasi Struktur Model 2 yang Mengalami Penurunan Kekuatan .	89
Gambar 3.12 Denah Struktur Tipikal	93
Gambar 3.13 Lokasi Retrofit Balok L Model 2 Lantai 6	99
Gambar 3.14 Lokasi Retrofit Balok T Model 2 Lantai 5	99
Gambar 3.15 Lokasi Retrofit Balok T Model 2 Lantai 6 dan 7	99
Gambar 3.16 Lokasi Retrofit Balok Anak Model 2 Lantai 5	100
Gambar 3.17 Lokasi Retrofit Balok Anak Model 2 Lantai 6 dan 7	100
Gambar 3.18 3D View Model 3.....	101
Gambar 3.19 Denah Struktur Model 3 yang Mengalami Penurunan Kekuatan	101
Gambar 3.20 Elevasi Struktur Model 3 yang Mengalami Penurunan Kekuatan	102
Gambar 3.21 Denah Struktur Tipikal	105
Gambar 3.22 Lokasi Retrofit Balok Anak Model 3 Lantai 8	111
Gambar 3.23 3D View Model 4.....	112

Gambar 3.24 Denah Struktur Model 4 yang Mengalami Penurunan Kekuatan	113
Gambar 3.25 Elevasi Struktur Model 4 yang Mengalami Penurunan Kekuatan	113
Gambar 3.26 Denah Struktur Tipikal	116
Gambar 3.27 Lokasi Retrofit Balok T Model 4 Lantai 2, 3, dan 4	123
Gambar 3.28 Lokasi Retrofit Balok Anak Model 4 Lantai 2 dan 3	123
Gambar 3.29 Lokasi Retrofit Kolom Model 4 Lantai 2	124
Gambar 3.30 Lokasi Retrofit Kolom Model 4 Lantai 3	124
Gambar 3.31 3D View Model 5	125
Gambar 3.32 Denah Struktur Model 5 yang Mengalami Penurunan Kekuatan	125
Gambar 3.33 Elevasi Struktur Model 5 yang Mengalami Penurunan Kekuatan	126
Gambar 3.34 Denah Struktur Tipikal	130
Gambar 3.35 Lokasi Retrofit Balok L Model 5 Lantai 6	136
Gambar 3.36 Lokasi Retrofit Balok T Model 5 Lantai 5	136
Gambar 3.37 Lokasi Retrofit Balok T Model 5 Lantai 6 dan 7	137
Gambar 3.38 Lokasi Retrofit Balok Anak Model 5 Lantai 5, 6, dan 7	137
Gambar 3.39 Lokasi Retrofit Kolom Model 5 Lantai 5	137
Gambar 3.40 3D View Model 6	138
Gambar 3.41 Denah Struktur Model 6 yang Mengalami Penurunan Kekuatan	138
Gambar 3.42 Elevasi Struktur Model 6 yang Mengalami Penurunan Kekuatan	139
Gambar 3.43 Denah Struktur Tipikal	143
Gambar 3.44 Lokasi Retrofit Balok Anak Model 6 Lantai 8	148
Gambar 4.1 Rekaman Percepatan Gempa El Centro	150
Gambar 4.2 Rekaman Percepatan Gempa Bucharest	150
Gambar 4.3 Rekaman Percepatan Gempa Flores	150
Gambar 4.4 Rekaman Percepatan Gempa Parkfield	150
Gambar 4.5 Rekaman Percepatan Gempa Denpasar	151

Gambar 4.6 Performance Check Data	151
Gambar 4.7 Display Performance Check	152
Gambar 4.8 Display Performance Check Model 1 Gempa El Centro.....	152
Gambar 4.9 Display Performance Check Model 1 Lantai 1 Gempa El Centro.	153
Gambar 4.10 Retrofit Lokal Kolom Model 1 Lantai 1.....	154
Gambar 4.11 Display Performance Check Model 2 Gempa El Centro.....	154
Gambar 4.12 Display Performance Check Model 2 Lantai 1 Gempa El Centro	155
Gambar 4.13 Retrofit Lokal Kolom Model 2 Lantai 1.....	155
Gambar 4.14 Display Performance Check Model 3 Gempa El Centro.....	156
Gambar 4.15 Display Performance Check Model 3 Lantai 1 Gempa El Centro	156
Gambar 4.16 Retrofit Lokal Kolom Model 3 Lantai 1.....	157
Gambar 4.17 Display Performance Check Model 4 Gempa El Centro.....	158
Gambar 4.18 Display Performance Check Model 4 Lantai 1 Gempa El Centro	158
Gambar 4.19 Retrofit Lokal Kolom Model 4 Lantai 1.....	159
Gambar 4.20 Display Performance Check Model 5 Gempa El Centro.....	159
Gambar 4.21 Display Performance Check Model 5 Lantai 1 Gempa El Centro	160
Gambar 4.22 Retrofit Lokal Kolom Model 5 Lantai 1.....	161
Gambar 4.23 Display Performance Check Model 6 Gempa El Centro.....	161
Gambar 4.24 Display Performance Check Model 6 Lantai 1 Gempa El Centro	161
Gambar 4.25 Retrofit Lokal Kolom Model 6 Lantai 1.....	162
Gambar 4.26 Peralihan Lantai Maksimum Model 1	163
Gambar 4.27 Peralihan Lantai Maksimum Model 2	164
Gambar 4.28 Peralihan Lantai Maksimum Model 3	165
Gambar 4.29 Peralihan Lantai Maksimum Model 4	165
Gambar 4.30 Peralihan Lantai Maksimum Model 5	166
Gambar 4.31 Peralihan Lantai Maksimum Model 6	167

Gambar 4.32 Story Drift Ratio Model 1	168
Gambar 4.33 Story Drift Ratio Model 2	169
Gambar 4.34 Story Drift Ratio Model 3	169
Gambar 4.35 Story Drift Ratio Model 4	170
Gambar 4.36 Story Drift Ratio Model 5	171
Gambar 4.37 Story Drift Ratio Model 6	172
Gambar 4.38 3D View Sendi Plastis Model 1 Gempa El Centro pada Detik 2.0 dan 2.3	172
Gambar 4.39 Sendi Plastis Model 1 Elevasi 1 Gempa El Centro pada Detik 2.0 dan 2.3	173
Gambar 4.40 Sendi Plastis Model 1 Elevasi 4 Gempa El Centro pada Detik 2.0 dan 2.3	173
Gambar 4.41 3D View Sendi Plastis Model 1 Gempa Bucharest pada Detik 3.25 dan 4.1	173
Gambar 4.42 Sendi Plastis Model 1 Elevasi 1 Gempa Bucharest pada Detik 3.25 dan 4.1	174
Gambar 4.43 Sendi Plastis Model 1 Elevasi 4 Gempa Bucharest pada Detik 3.25 dan 4.1	174
Gambar 4.44 3D View Sendi Plastis Model 1 Gempa Flores pada Detik 44.0 dan 54.0	174
Gambar 4.45 Sendi Plastis Model 1 Elevasi 1 Gempa Flores pada Detik 44.0 dan 54.0	175
Gambar 4.46 Sendi Plastis Model 1 Elevasi 4 Gempa Flores pada Detik 44.0 dan 54.0	175
Gambar 4.47 3D View Sendi Plastis Model 1 Gempa Parkfield pada Detik 3.8 dan 4.7	175
Gambar 4.48 Sendi Plastis Model 1 Elevasi 1 Gempa Parkfield pada Detik 3.8 dan 4.7	176

Gambar 4.49 Sendi Plastis Model 1 Elevasi 4 Gempa Parkfield pada Detik 3.8 dan 4.7	176
Gambar 4.50 3D View Sendi Plastis Model 1 Gempa Denpasar pada Detik 10.7 dan 23.0	176
Gambar 4.51 Sendi Plastis Model 1 Elevasi 1 Gempa Denpasar pada Detik 10.7 dan 23.0	177
Gambar 4.52 Sendi Plastis Model 1 Elevasi 4 Gempa Denpasar pada Detik 10.7 dan 23.0	177
Gambar 4.53 3D View Sendi Plastis Model 2 Gempa El Centro pada Detik 2.0 dan 2.3	177
Gambar 4.54 Sendi Plastis Model 2 Elevasi 1 Gempa El Centro pada Detik 2.0 dan 2.3	178
Gambar 4.55 Sendi Plastis Model 2 Elevasi 4 Gempa El Centro pada Detik 2.0 dan 2.3	178
Gambar 4.56 3D View Sendi Plastis Model 2 Gempa Bucharest pada Detik 3.25 dan 4.1	178
Gambar 4.57 Sendi Plastis Model 2 Elevasi 1 Gempa Bucharest pada Detik 3.25 dan 4.1	179
Gambar 4.58 Sendi Plastis Model 2 Elevasi 4 Gempa Bucharest pada Detik 3.25 dan 4.1	179
Gambar 4.59 3D View Sendi Plastis Model 2 Gempa Flores pada Detik 44.0 dan 54.0.....	179
Gambar 4.60 Sendi Plastis Model 2 Elevasi 1 Gempa Flores pada Detik 44.0 dan 54.0.....	180
Gambar 4.61 Sendi Plastis Model 2 Elevasi 4 Gempa Flores pada Detik 44.0 dan 54.0.....	180
Gambar 4.62 3D View Sendi Plastis Model 2 Gempa Parkfield pada Detik 3.8 dan 4.7	180

Gambar 4.63 Sendi Plastis Model 2 Elevasi 1 Gempa Parkfield pada Detik 3.8 dan 4.7	181
Gambar 4.64 Sendi Plastis Model 2 Elevasi 4 Gempa Parkfield pada Detik 3.8 dan 4.7	181
Gambar 4.65 3D View Sendi Plastis Model 2 Gempa Denpasar pada Detik 10.7 dan 23.0	181
Gambar 4.66 Sendi Plastis Model 2 Elevasi 1 Gempa Denpasar pada Detik 10.7 dan 23.0	182
Gambar 4.67 Sendi Plastis Model 2 Elevasi 4 Gempa Denpasar pada Detik 10.7 dan 23.0	182
Gambar 4.68 3D View Sendi Plastis Model 3 Gempa El Centro pada Detik 2.0 dan 2.3	182
Gambar 4.69 Sendi Plastis Model 3 Elevasi 1 Gempa El Centro pada Detik 2.0 dan 2.3	183
Gambar 4.70 Sendi Plastis Model 3 Elevasi 4 Gempa El Centro pada Detik 2.0 dan 2.3	183
Gambar 4.71 3D View Sendi Plastis Model 3 Gempa Bucharest pada Detik 3.25 dan 4.1	183
Gambar 4.72 Sendi Plastis Model 3 Elevasi 1 Gempa Bucharest pada Detik 3.25 dan 4.1	184
Gambar 4.73 Sendi Plastis Model 3 Elevasi 4 Gempa Bucharest pada Detik 3.25 dan 4.1	184
Gambar 4.74 3D View Sendi Plastis Model 3 Gempa Flores pada Detik 44.0 dan 54.0.....	184
Gambar 4.75 Sendi Plastis Model 3 Elevasi 1 Gempa Flores pada Detik 44.0 dan 54.0.....	185
Gambar 4.76 Sendi Plastis Model 3 Elevasi 4 Gempa Flores pada Detik 44.0 dan 54.0.....	185

Gambar 4.77 3D View Sendi Plastis Model 3 Gempa Parkfield pada Detik 3.8 dan 4.7	185
Gambar 4.78 Sendi Plastis Model 3 Elevasi 1 Gempa Parkfield pada Detik 3.8 dan 4.7	186
Gambar 4.79 Sendi Plastis Model 3 Elevasi 4 Gempa Parkfield pada Detik 3.8 dan 4.7	186
Gambar 4.80 3D View Sendi Plastis Model 3 Gempa Denpasar pada Detik 10.7 dan 23.0	186
Gambar 4.81 Sendi Plastis Model 3 Elevasi 1 Gempa Denpasar pada Detik 10.7 dan 23.0	187
Gambar 4.82 Sendi Plastis Model 3 Elevasi 4 Gempa Denpasar pada Detik 10.7 dan 23.0	187
Gambar 4.83 3D View Sendi Plastis Model 4 Gempa El Centro pada Detik 2.0 dan 2.3	187
Gambar 4.84 Sendi Plastis Model 4 Elevasi 1 Gempa El Centro pada Detik 2.0 dan 2.3	188
Gambar 4.85 Sendi Plastis Model 4 Elevasi 4 Gempa El Centro pada Detik 2.0 dan 2.3	188
Gambar 4.86 3D View Sendi Plastis Model 4 Gempa Bucharest pada Detik 3.25 dan 4.1	188
Gambar 4.87 Sendi Plastis Model 4 Elevasi 1 Gempa Bucharest pada Detik 3.25 dan 4.1	189
Gambar 4.88 Sendi Plastis Model 4 Elevasi 4 Gempa Bucharest pada Detik 3.25 dan 4.1	189
Gambar 4.89 3D View Sendi Plastis Model 4 Gempa Flores pada Detik 44.0 dan 54.0.....	189
Gambar 4.90 Sendi Plastis Model 4 Elevasi 1 Gempa Flores pada Detik 44.0 dan 54.0.....	190

Gambar 4.91 Sendi Plastis Model 4 Elevasi 4 Gempa Flores pada Detik 44.0 dan 54.0.....	190
Gambar 4.92 3D View Sendi Plastis Model 4 Gempa Parkfield pada Detik 3.8 dan 4.7	190
Gambar 4.93 Sendi Plastis Model 4 Elevasi 1 Gempa Parkfield pada Detik 3.8 dan 4.7	191
Gambar 4.94 Sendi Plastis Model 4 Elevasi 4 Gempa Parkfield pada Detik 3.8 dan 4.7	191
Gambar 4.95 3D View Sendi Plastis Model 4 Gempa Denpasar pada Detik 10.7 dan 23.0	191
Gambar 4.96 Sendi Plastis Model 4 Elevasi 1 Gempa Denpasar pada Detik 10.7 dan 23.0	192
Gambar 4.97 Sendi Plastis Model 4 Elevasi 4 Gempa Denpasar pada Detik 10.7 dan 23.0	192
Gambar 4.98 3D View Sendi Plastis Model 5 Gempa El Centro pada Detik 2.0 dan 2.3	192
Gambar 4.99 Sendi Plastis Model 5 Elevasi 1 Gempa El Centro pada Detik 2.0 dan 2.3	193
Gambar 4.100 Sendi Plastis Model 5 Elevasi 4 Gempa El Centro pada Detik 2.0 dan 2.3	193
Gambar 4.101 3D View Sendi Plastis Model 5 Gempa Bucharest pada Detik 3.25 dan 4.1	193
Gambar 4.102 Sendi Plastis Model 5 Elevasi 1 Gempa Bucharest pada Detik 3.25 dan 4.1	194
Gambar 4.103 Sendi Plastis Model 5 Elevasi 4 Gempa Bucharest pada Detik 3.25 dan 4.1	194
Gambar 4.104 3D View Sendi Plastis Model 5 Gempa Flores pada Detik 44.0 dan 54.0	194

Gambar 4.105 Sendi Plastis Model 5 Elevasi 1 Gempa Flores pada Detik 44.0 dan 54.0	195
Gambar 4.106 Sendi Plastis Model 5 Elevasi 4 Gempa Flores pada Detik 44.0 dan 54.0	195
Gambar 4.107 3D View Sendi Plastis Model 5 Gempa Parkfield pada Detik 3.8 dan 4.7	195
Gambar 4.108 Sendi Plastis Model 5 Elevasi 1 Gempa Parkfield pada Detik 3.8 dan 4.7	196
Gambar 4.109 Sendi Plastis Model 5 Elevasi 4 Gempa Parkfield pada Detik 3.8 dan 4.7	196
Gambar 4.110 3D View Sendi Plastis Model 5 Gempa Denpasar pada Detik 10.7 dan 23.0	196
Gambar 4.111 Sendi Plastis Model 5 Elevasi 1 Gempa Denpasar pada Detik 10.7 dan 23.0	197
Gambar 4.112 Sendi Plastis Model 5 Elevasi 4 Gempa Denpasar pada Detik 10.7 dan 23.0	197
Gambar 4.113 3D View Sendi Plastis Model 6 Gempa El Centro pada Detik 2.0 dan 2.3	197
Gambar 4.114 Sendi Plastis Model 6 Elevasi 1 Gempa El Centro pada Detik 2.0 dan 2.3	198
Gambar 4.115 Sendi Plastis Model 6 Elevasi 4 Gempa El Centro pada Detik 2.0 dan 2.3	198
Gambar 4.116 3D View Sendi Plastis Model 6 Gempa Bucharest pada Detik 3.25 dan 4.1	198
Gambar 4.117 Sendi Plastis Model 6 Elevasi 1 Gempa Bucharest pada Detik 3.25 dan 4.1	199
Gambar 4.118 Sendi Plastis Model 6 Elevasi 4 Gempa Bucharest pada Detik 3.25 dan 4.1	199

Gambar 4.119 3D View Sendi Plastis Model 6 Gempa Flores pada Detik 44.0 dan 54.0	199
Gambar 4.120 Sendi Plastis Model 6 Elevasi 1 Gempa Flores pada Detik 44.0 dan 54.0	200
Gambar 4.121 Sendi Plastis Model 6 Elevasi 4 Gempa Flores pada Detik 44.0 dan 54.0	200
Gambar 4.122 3D View Sendi Plastis Model 6 Gempa Parkfield pada Detik 3.8 dan 4.7	200
Gambar 4.123 Sendi Plastis Model 6 Elevasi 1 Gempa Parkfield pada Detik 3.8 dan 4.7	201
Gambar 4.124 Sendi Plastis Model 6 Elevasi 4 Gempa Parkfield pada Detik 3.8 dan 4.7	201
Gambar 4.125 3D View Sendi Plastis Model 6 Gempa Denpasar pada Detik 10.7 dan 23.0	201
Gambar 4.126 Sendi Plastis Model 6 Elevasi 1 Gempa Denpasar pada Detik 10.7 dan 23.0	202
Gambar 4.127 Sendi Plastis Model 6 Elevasi 4 Gempa Denpasar pada Detik 10.7 dan 23.0	202

DAFTAR TABEL

Tabel 2.1 Kategori Risiko Bangunan Gedung dan Nongedung untuk Beban Gempa (sumber: Tabel 3 SNI 1726:2019)	13
Tabel 2.2 Faktor Keutamaan Gempa (sumber: Tabel 4 SNI 1726:2019)	14
Tabel 2.3 Klasifikasi Situs (sumber: Tabel 5 SNI 1726:2019).....	15
Tabel 2.4 Koefisien Situs F_a (sumber: Tabel 6 SNI 1726:2019)	16
Tabel 2.5 Koefisien Situs F_v (sumber: Tabel 7 SNI 1726:2019)	16
Tabel 2.6 Kategori Desain Seismik Berdasarkan Parameter Respons Percepatan pada Periode Pendek (sumber: Tabel 8 SNI 1726:2019)	19
Tabel 2.7 Kategori Desain Seismik Berdasarkan Parameter Respons Percepatan pada Periode 1 Detik (sumber: Tabel 9 SNI 1726:2019)	19
Tabel 2.8 Faktor R , C_d , dan Ω_0 untuk Sistem Pemikul Gaya Seismik (sumber: Tabel 12 SNI 1726:2019).....	20
Tabel 2.9 Ketidakberaturan Horizontal Pada Struktur (sumber: Tabel 13 SNI 1726:2019)	22
Tabel 2.10 Ketidakberaturan Vertikal Pada Struktur (sumber: Tabel 14 SNI 1726:2019)	24
Tabel 2.11 Koefisien Untuk Batas Atas pada Periode yang Dihitung (sumber: Tabel 17 SNI 1726:2019).....	30
Tabel 2.12 Nilai Parameter Periode Pendekatan C_t dan x (sumber: Tabel 18 SNI 1726:2019)	30
Tabel 2.13 Simpangan Antar Tingkat Izin, $\Delta_a^{a,b}$ (sumber: Tabel 18 SNI 1726:2019)	33
Tabel 2.14 Faktor Elemen Beban Hidup, K_{LL} (sumber: Tabel 4.7-1 SNI 1727:2020)	36
Tabel 2.15 Ketebalan Minimum Pelat Dua Arah Nonprategang dengan Balok di Antara Tumpuan pada Semua Sisinya. (sumber: Tabel 8.3.1.2 ACI 318M-14) ...	37

Tabel 2.16 Perhitungan Lendutan Izin Maksimum. (sumber: Tabel 24.2.2 SNI 2847:2019)	37
Tabel 2.17 As_{min} untuk pelat dua arah nonprategang (sumber: Tabel 8.6.1.1 SNI 2847:2019)	38
Tabel 2.18 Tinggi Minimum Balok Nonprategang (sumber: Tabel 9.3.1.1 SNI 2847:2019)	38
Tabel 2.19 Batasan Dimensi Lebar Sayap Efektif untuk Balok-T (sumber: Tabel 6.3.2.1 SNI 2847:2019).....	39
Tabel 2.20 Tulangan transversal untuk kolom-kolom sistem rangka pemikul momen khusus (sumber: Tabel 18.7.5.4 SNI 2847:2019)	40
Tabel 2.21 Ketebalan Selimut Beton untuk Komponen Struktur Beton Nonprategang yang Dicor di Tempat (sumber: Tabel 20.6.1.3.1 SNI 2847:2019)	41
Tabel 3.1 Beban Mati Tambahan pada Lantai 1-8.....	64
Tabel 3.2 Beban Mati Tambahan pada Lantai 9	65
Tabel 3.3 Kombinasi Pembebanan Pemodelan.....	66
Tabel 3.4 Dimensi Elemen Struktur.....	67
Tabel 3.5 Simpangan Antar Lantai Model Sebelum Kebakaran	68
Tabel 3.6 Pengecekan Ketidakberaturan Horizontal Tipe 1A dan 1B Sebelum Terjadi Kebakaran.....	69
Tabel 3.7 Pengecekan Ketidakberaturan Vertikal Tipe 1A dan 1B Sebelum Terjadi Kebakaran.....	71
Tabel 3.8 Pengecekan Ketidakberaturan Vertikal Tipe 2 Sebelum Terjadi Kebakaran.....	72
Tabel 3.9 Pengecekan Ketidakberaturan Vertikal Tipe 5A dan 5B Sebelum Terjadi Kebakaran.....	72
Tabel 3.10 Penulangan Kolom pada Pemodelan Awal	73
Tabel 3.11 Penulangan Balok L pada Pemodelan Awal	74
Tabel 3.12 Penulangan Balok T pada Pemodelan Awal	74

Tabel 3.13 Penulangan Balok Anak pada Pemodelan Awal	75
Tabel 3.14 Simpangan Antar Lantai Model 1	79
Tabel 3.15 Pengecekan Ketidakberaturan Horizontal Tipe 1A dan 1B Model 1 .	79
Tabel 3.16 Pengecekan Ketidakberaturan Vertikal Tipe 1A dan 1B Model 1	81
Tabel 3.17 Pengecekan Ketidakberaturan Vertikal Tipe 2 Model 1.....	83
Tabel 3.18 Pengecekan Ketidakberaturan Vertikal Tipe 5A dan 5B Model 1	83
Tabel 3.19 Perbandingan Penulangan Balok L pada Model 1.....	84
Tabel 3.20 Perbandingan Penulangan Balok T pada Model 1.....	85
Tabel 3.21 Perbandingan Penulangan Balok Anak pada Model 1.....	85
Tabel 3.22 Perbandingan Penulangan Kolom pada Model 1	86
Tabel 3.23 Simpangan Antar Lantai Model 2	90
Tabel 3.24 Pengecekan Ketidakberaturan Horizontal Tipe 1A dan 1B Model 2 .	91
Tabel 3.25 Pengecekan Ketidakberaturan Vertikal Tipe 1A dan 1B Model 2	93
Tabel 3.26 Pengecekan Ketidakberaturan Vertikal Tipe 2 Model 2.....	94
Tabel 3.27 Pengecekan Ketidakberaturan Vertikal Tipe 5A dan 5B Model 2	94
Tabel 3.28 Perbandingan Penulangan Balok L pada Model 2.....	96
Tabel 3.29 Perbandingan Penulangan Balok T pada Model 2.....	96
Tabel 3.30 Perbandingan Penulangan Balok Anak pada Model 2	97
Tabel 3.31 Perbandingan Penulangan Kolom pada Model 2	97
Tabel 3.32 Simpangan Antar Lantai Model 3	103
Tabel 3.33 Pengecekan Ketidakberaturan Horizontal Tipe 1A dan 1B Model 3	103
Tabel 3.34 Pengecekan Ketidakberaturan Vertikal Tipe 1A dan 1B Model 3 ...	105
Tabel 3.35 Pengecekan Ketidakberaturan Vertikal Tipe 2 Model 3	107
Tabel 3.36 Pengecekan Ketidakberaturan Vertikal Tipe 5A dan 5B Model 3 ...	107
Tabel 3.37 Perbandingan Penulangan Balok L pada Model 3.....	108
Tabel 3.38 Perbandingan Penulangan Balok T pada Model 3.....	109

Tabel 3.39 Perbandingan Penulangan Balok Anak pada Model 3.....	109
Tabel 3.40 Perbandingan Penulangan Kolom pada Model 3	110
Tabel 3.41 Simpangan Antar Lantai Model 4	114
Tabel 3.42 Pengecekan Ketidakberaturan Horizontal Tipe 1A dan 1B Model 4	115
Tabel 3.43 Pengecekan Ketidakberaturan Vertikal Tipe 1A dan 1B Model 4 ...	117
Tabel 3.44 Pengecekan Ketidakberaturan Vertikal Tipe 2 Model 4.....	118
Tabel 3.45 Pengecekan Ketidakberaturan Vertikal Tipe 5A dan 5B Model 4 ...	119
Tabel 3.46 Perbandingan Penulangan Balok L pada Model 4.....	120
Tabel 3.47 Perbandingan Penulangan Balok T pada Model 4.....	121
Tabel 3.48 Perbandingan Penulangan Balok Anak pada Model 4.....	121
Tabel 3.49 Perbandingan Penulangan Kolom pada Model 4	122
Tabel 3.50 Simpangan Antar Lantai Model 5	127
Tabel 3.51 Pengecekan Ketidakberaturan Horizontal Tipe 1A dan 1B Model 5	127
Tabel 3.52 Pengecekan Ketidakberaturan Vertikal Tipe 1A dan 1B Model 5 ...	130
Tabel 3.53 Pengecekan Ketidakberaturan Vertikal Tipe 2 Model 5.....	131
Tabel 3.54 Pengecekan Ketidakberaturan Vertikal Tipe 5A dan 5B Model 5 ...	131
Tabel 3.55 Perbandingan Penulangan Balok L pada Model 5.....	133
Tabel 3.56 Perbandingan Penulangan Balok T pada Model 5.....	133
Tabel 3.57 Perbandingan Penulangan Kolom pada Model 5	134
Tabel 3.58 Simpangan Antar Lantai Model 6	140
Tabel 3.59 Pengecekan Ketidakberaturan Horizontal Tipe 1A dan 1B Model 6	140
Tabel 3.60 Pengecekan Ketidakberaturan Vertikal Tipe 1A dan 1B Model 6 ...	143
Tabel 3.61 Pengecekan Ketidakberaturan Vertikal Tipe 2 Model 6.....	144
Tabel 3.62 Pengecekan Ketidakberaturan Vertikal Tipe 5A dan 5B Model 6 ...	144
Tabel 3.63 Perbandingan Penulangan Balok L pada Model 6.....	146
Tabel 3.64 Perbandingan Penulangan Balok T pada Model 6.....	146

Tabel 3.65 Perbandingan Penulangan Balok Anak pada Model 6.....	147
Tabel 3.66 Perbandingan Penulangan Kolom pada Model 6	147
Tabel 4.1 Peralihan Lantai Maksimum Model 1	162
Tabel 4.2 Peralihan Lantai Maksimum Model 2	163
Tabel 4.3 Peralihan Lantai Maksimum Model 3	164
Tabel 4.4 Peralihan Lantai Maksimum Model 4	165
Tabel 4.5 Peralihan Lantai Maksimum Model 5	165
Tabel 4.6 Peralihan Lantai Maksimum Model 6	166
Tabel 4.7 Story Drift Ratio Model 1	167
Tabel 4.8 Story Drift Ratio Model 2	168
Tabel 4.9 Story Drift Ratio Model 3	169
Tabel 4.10 Story Drift Ratio Model 4	169
Tabel 4.11 Story Drift Ratio Model 5	170
Tabel 4.12 Story Drift Ratio Model 6	171
Tabel 4.13 Taraf Kinerja Model 1	202
Tabel 4.14 Taraf Kinerja Model 2	202
Tabel 4.15 Taraf Kinerja Model 3	203
Tabel 4.16 Taraf Kinerja Model 4	203
Tabel 4.17 Taraf Kinerja Model 5	203
Tabel 4.18 Taraf Kinerja Model 6	203
Tabel 4.19 Perbandingan Gaya Geser Dasar Analisis Riwayat Waktu dengan Analisis Respons Spektrum Model 1	204
Tabel 4.20 Perbandingan Gaya Geser Dasar Analisis Riwayat Waktu dengan Analisis Respons Spektrum Model 2	204
Tabel 4.21 Perbandingan Gaya Geser Dasar Analisis Riwayat Waktu dengan Analisis Respons Spektrum Model 3	205

Tabel 4.22 Perbandingan Gaya Geser Dasar Analisis Riwayat Waktu dengan Analisis Respons Spektrum Model 4	205
Tabel 4.23 Perbandingan Gaya Geser Dasar Analisis Riwayat Waktu dengan Analisis Respons Spektrum Model 5	205
Tabel 4.24 Perbandingan Gaya Geser Dasar Analisis Riwayat Waktu dengan Analisis Respons Spektrum Model 6	206
Tabel 4.25 Peralihan Antar Lantai Model 1	206
Tabel 4.26 Faktor Pembesaran Defleksi Model 1	207
Tabel 4.27 Peralihan Antar Lantai Model 2	207
Tabel 4.28 Faktor Pembesaran Defleksi Model 2	207
Tabel 4.29 Peralihan Antar Lantai Model 3	208
Tabel 4.30 Faktor Pembesaran Defleksi Model 3	208
Tabel 4.31 Peralihan Antar Lantai Model 4	209
Tabel 4.32 Faktor Pembesaran Defleksi Model 4	209
Tabel 4.33 Peralihan Antar Lantai Model 5	209
Tabel 4.34 Faktor Pembesaran Defleksi Model 5	210
Tabel 4.35 Peralihan Antar Lantai Model 6	210
Tabel 4.36 Faktor Pembesaran Defleksi Model 6	210

BAB 1

PENDAHULUAN

1.1 Latar Belakang

Pembangunan infrastruktur memiliki peran yang penting dalam pertumbuhan ekonomi suatu negara. Menurut data kependudukan Direktorat Jendral Kependudukan dan Pencatatan Sipil (Dukcapil), jumlah penduduk Indonesia mencapai 280.73 juta jiwa pada Desember 2023. Jumlah penduduk Indonesia yang besar menuntut pembangunan infrastruktur yang memadai untuk menyejahterakan masyarakat dan meningkatkan perekonomian negara. Seiring dengan meningkatnya kebutuhan infrastruktur, keterbatasan lahan menjadi masalah yang perlu dipertimbangkan. Pembangunan gedung bertingkat tinggi merupakan sebuah solusi untuk mengatasi keterbatasan lahan. Selain keterbatasan lahan, faktor estetika dan kenyamanan merupakan hal yang sangat penting. Bangunan yang estetik memiliki daya tarik bagi orang yang memandang bangunan tersebut sehingga memberikan nilai lebih. Dewasa ini banyak gedung yang didesain dengan berbagai ketidak-beraturan karena keperluan fungsi ruangan atau arsitektur. Perkembangan teknologi analisis dan desain 3D juga semakin memadai dan mendukung disain gedung dengan ketidakberaturan. Pada skripsi ini, gedung yang akan dibahas mengalami ketidak-beraturan sudut dalam.

Berdasarkan SNI 1726:2019, ketidakberaturan sudut dalam didefinisikan jika kedua dimensi proyeksi denah struktur dari lokasi sudut dalam lebih besar dari 15% dimensi denah struktur dalam arah yang ditinjau. Indonesia merupakan negara yang sering mengalami gempa bumi karena lokasinya yang berada di antara pertemuan lempeng tektonik yaitu Lempeng Indo-Australia, Lempeng Pasifik, Lempeng Eurasia, dan Lempeng Laut Filipina. Potensi terjadinya gempa bumi yang besar menyebabkan gedung yang mengalami ketidakberaturan perlu dikaji secara lebih mendalam. Ketidakberaturan sudut dalam menyebabkan beberapa efek negatif pada struktur yaitu reduksi kekuatan dan kestabilan, peningkatan beban gempa, kerusakan struktural karena berpotensi munculnya titik konsentrasi beban, dan menyebabkan variasi distribusi gaya lateral yang bekerja pada struktur. Untuk mengurangi dampak dari efek negatif ketidakberaturan sudut dalam yang bisa

menyebabkan kegagalan struktur, maka diperlukan metode perkuatan yang dapat meningkatkan kinerja struktur, salah satunya adalah *retrofit*.

Kebakaran merupakan kejadian dimana api secara tidak terkendali menyebar dan merusak benda-benda di sekitarnya. Kebakaran bisa terjadi di berbagai tempat, mulai dari rumah tinggal, gedung perkantoran, hingga hutan dan lahan. Kebakaran bisa disebabkan oleh berbagai faktor, seperti korsleting listrik, percikan api, kebocoran gas, kelalaian manusia, atau faktor alam seperti petir. Beton merupakan material yang memiliki ketahanan api yang lebih baik daripada kayu. Hal ini disebabkan karena komposisi beton terdiri dari campuran semen, air, dan agregat sehingga beton memiliki sifat tidak mudah terbakar dan dapat menahan suhu tinggi dalam waktu yang relatif lama sebelum akhirnya melemah.

Kebakaran pada gedung umumnya bersuhu 400°C hingga 1000°C . Faktor yang mempengaruhi kekuatan dari gedung beton adalah suhu dari kebakaran yang terjadi dan durasinya. Pengaruh pemanasan pada beton di temperatur 200°C memberikan keuntungan pada beton, karena menyebabkan penguapan air dan penetrasi kedalam rongga-rongga beton, sehingga dapat meningkatkan sifat lekatan antar partikel kalsium silika. Kuat tekan beton benda uji silinder yang dipanaskan pada temperatur 200°C meningkat 10-15% dibandingkan dengan beton tanpa dipanaskan. Pada saat $300\text{-}600^{\circ}\text{C}$, beton akan mulai mengalami perubahan warna menjadi abu-abu normal hingga warna merah muda, mulai berubah warna menjadi putih keabu-abuan pada suhu $600\text{-}900^{\circ}\text{C}$, dan warna abu-abu pucat pada saat suhu mencapai $900\text{-}1000^{\circ}\text{C}$ (Hidayati, Priyosulistyo, & Triwiyono, 2021). Suhu yang tinggi dapat menyebabkan beton mengalami penurunan pada kuat tekan, modulus elastisitas, mengalami retak hingga *spalling* pada beton. Sedangkan pada baja tulangan terjadi penurunan kuat leleh, duktilitas, dan kuat tarik baja, serta berkurangnya lekatan antara beton dan tulangan.

Bangunan yang mengalami kebakaran tidak selalu harus dihancurkan ketika mengalami kerusakan. Karena struktur beton pasca kebakaran masih memiliki kekuatan sisa, *retrofit* dapat menjadi solusi yang lebih ekonomis daripada pembangunan baru, terutama jika bangunan yang ada memiliki nilai historis atau kultural yang tinggi. Konsep dasar dari *retrofit* adalah meningkatkan kekuatan lateral dan duktilitas struktur. *Retrofit* dapat ditinjau dari dua aspek, yaitu perkuatan

secara global dan lokal. Perkuatan global diberikan pada gedung yang tidak memenuhi persyaratan structural yaitu *strength*, *stiffness*, *stability*, dan *ductility*. Sedangkan perkuatan lokal diberikan ketika elemen struktur yaitu balok atau kolom tertentu tidak memenuhi keempat syarat *strength*, *stiffness*, *stability*, dan *ductility*. Perkuatan global yang umum dilakukan adalah pemberian bracing baja dan dinding geser, sedangkan perkuatan lokal yang dapat diterapkan pada elemen gedung adalah *steel jacketing*, *concrete jacketing*, *near surface mounted rod*, dan CFRP (*Carbon Fiber Reinforced Polymer*) *wrapping*.

1.2 Masalah Penelitian

Kebakaran menyebabkan penurunan kekuatan pada struktur gedung. Dengan penurunan kekuatan tersebut, gedung perlu dievaluasi kekuatannya untuk memastikan bahwa gaya gempa dan gravitasi terhadap gedung masih mampu dipikul oleh elemen struktur. Gedung yang tidak dapat memikul beban pasca kebakaran dapat diperbaiki atau di *retrofitting* tanpa harus menghancurkan komponen struktur aslinya.

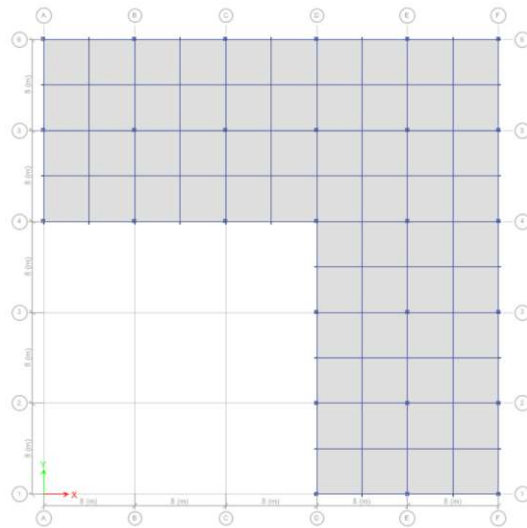
1.3 Tujuan Penelitian

Tujuan dari penelitian skripsi ini adalah untuk menganalisis struktur kemudian diberikan *retrofit* sesuai dengan kebutuhan pasca kebakaran berdasarkan lokasi kebakaran. Struktur akan mengalami peningkatan dalam hal kekuatan, kekakuan, daktilitas, dan stabilitas. Struktur kemudian akan dicek kinerjanya setelah diberikan *retrofit* berdasarkan analisis riwayat waktu.

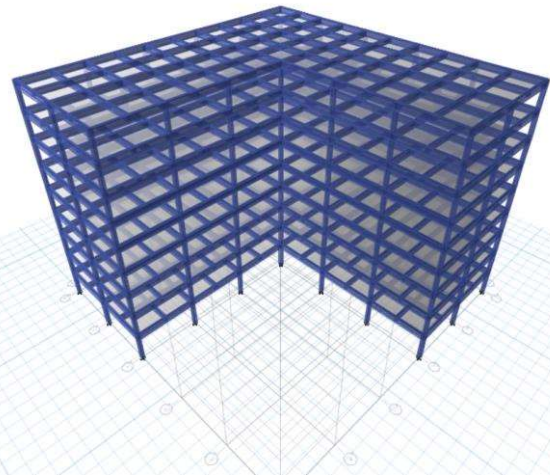
1.4 Pembatasan Masalah

Pembatasan masalah yang akan dibahas pada skripsi ini adalah sebagai berikut :

1. Lokasi bangunan berada di Jakarta dengan kelas situs tanah lunak E (SE)
2. Bangunan memiliki fungsi sebagai hotel dengan ukuran denah berbentuk L ukuran sisi panjang 40 m x 40 m. Jumlah bentang 5 buah dengan jarak antar bentang 8 m baik ke arah x maupun ke arah y. Gedung memiliki ketinggi 9 lantai dengan tinggi lantai dasar 4 m dan tipikal lantai diatasnya 3,4 m.

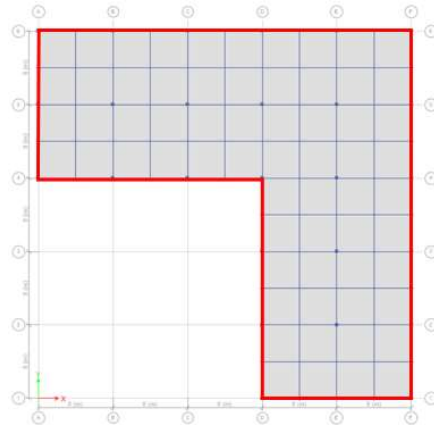


Gambar 1.1 Denah Tipikal Lantai

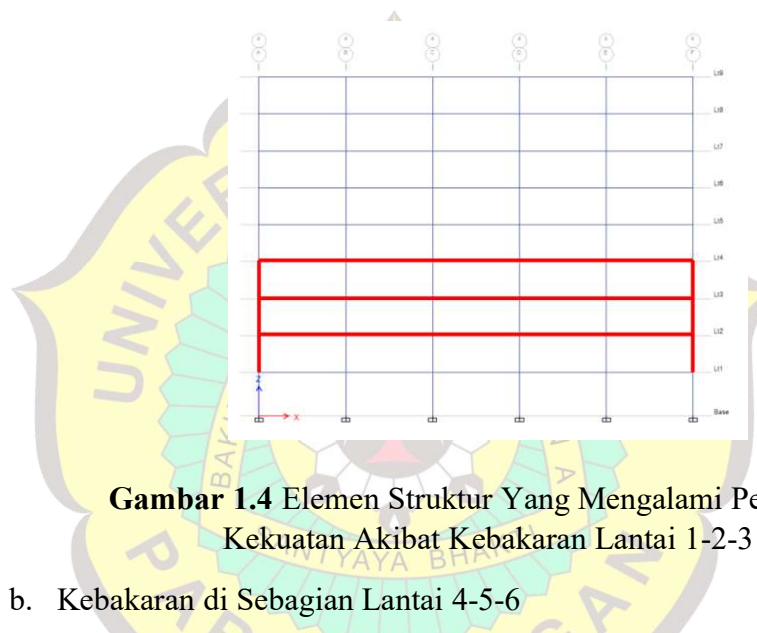


Gambar 1.2 Model 3D Gedung

3. Software yang digunakan adalah ETABS 21
4. Wilayah yang mengalami kebakaran dimodelkan menjadi 3 macam yaitu
 - a. Kebakaran di seluruh lantai 1-2-3

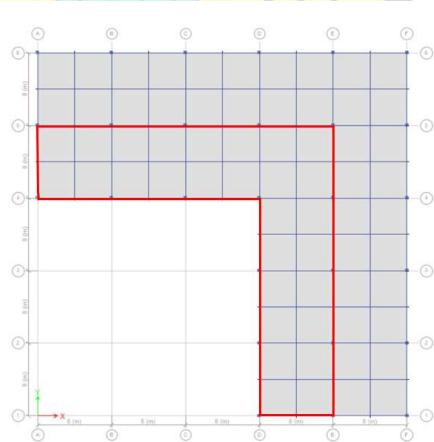


Gambar 1.3 Kebakaran di Seluruh Lantai 1-2-3

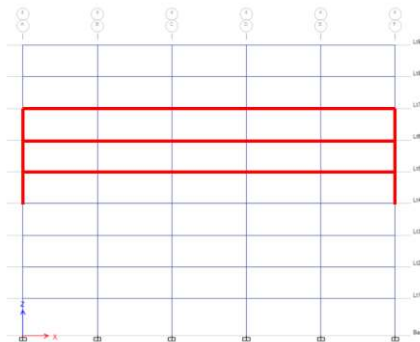


Gambar 1.4 Elemen Struktur Yang Mengalami Penurunan Kekuatan Akibat Kebakaran Lantai 1-2-3

b. Kebakaran di Sebagian Lantai 4-5-6

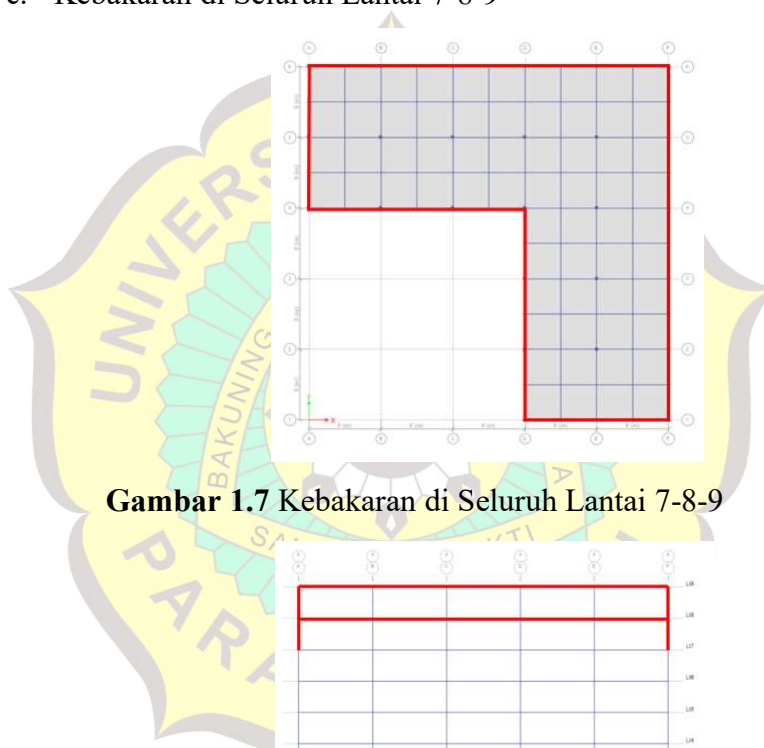


Gambar 1.5 Kebakaran di Sebagian Lantai 4-5-6



Gambar 1.6 Elemen Struktur Yang Mengalami Penurunan Kekuatan Akibat Kebakaran Lantai 4-5-6

c. Kebakaran di Seluruh Lantai 7-8-9



Gambar 1.7 Kebakaran di Seluruh Lantai 7-8-9



Gambar 1.8 Elemen Struktur Yang Mengalami Penurunan Kekuatan Akibat Kebakaran Lantai 7-8-9

5. Spesifikasi beton bertulang yang digunakan untuk desain struktur sebelum kebakaran adalah :
 - a. Berat jenis beton (γ) = 2400 kg/m^3
 - b. Mutu tulangan (f_y) = 420 MPa
 - c. Mutu beton (f_c') = 42 MPa

- d. Modulus elastisitas beton $E_c = 4700\sqrt{f'_c}$ MPa
6. Analisis kekuatan pasca kebakaran dilakukan pada balok dan kolom. Elemen struktur diasumsikan tidak mengalami *spalling*.
7. Diasumsikan bangunan mengalami kebakaran dalam kondisi suhu api 400°C dan 800°C dengan durasi 2 jam.
8. Temperatur yang digunakan untuk penurunan kekuatan material balok, kolom, dan pelat diasumsikan pada kedalaman 3cm didalam elemen struktur.
9. Diasumsikan temperatur balok di lantai paling bawah pada area yang mengalami kebakaran tidak terjadi penurunan kekuatan karena ada perlindungan dari spesi dan keramik.
10. Peraturan yang digunakan adalah:
- SNI 1726:2019. (2019). Tata Cara Perencanaan Ketahanan Gempa untuk Struktur Bangunan Gedung dan Nongedung. Badan Standardisasi Nasional, Jakarta
 - SNI 2847:2019. (2019). Persyaratan Beton Struktural untuk Bangunan Gedung dan Penjelasan. Badan Standardisasi Nasional, Jakarta
 - SNI 1727:2020. (2020). Beban Desain Minimum dan Kriteria Terkait untuk Bangunan Gedung dan Struktur Lain. Badan Standardisasi Nasional, Jakarta.
11. Analisis desain yang dilakukan menggunakan analisis respons spektrum dan riwayat waktu. Rekaman gempa yang digunakan untuk analisis riwayat waktu adalah:
- Gempa El-Centro N-S tahun 1940
 - Gempa Denpasar Timur-Barat tahun 1979
 - Gempa Flores tahun 1992
 - Gempa Parkfield N65E tahun 1966
 - Gempa Bucharest N-S tahun 1977

1.5 Metode Penelitian

Penulisan skripsi ini menggunakan metode penelitian sebagai berikut :

1. Studi Literatur

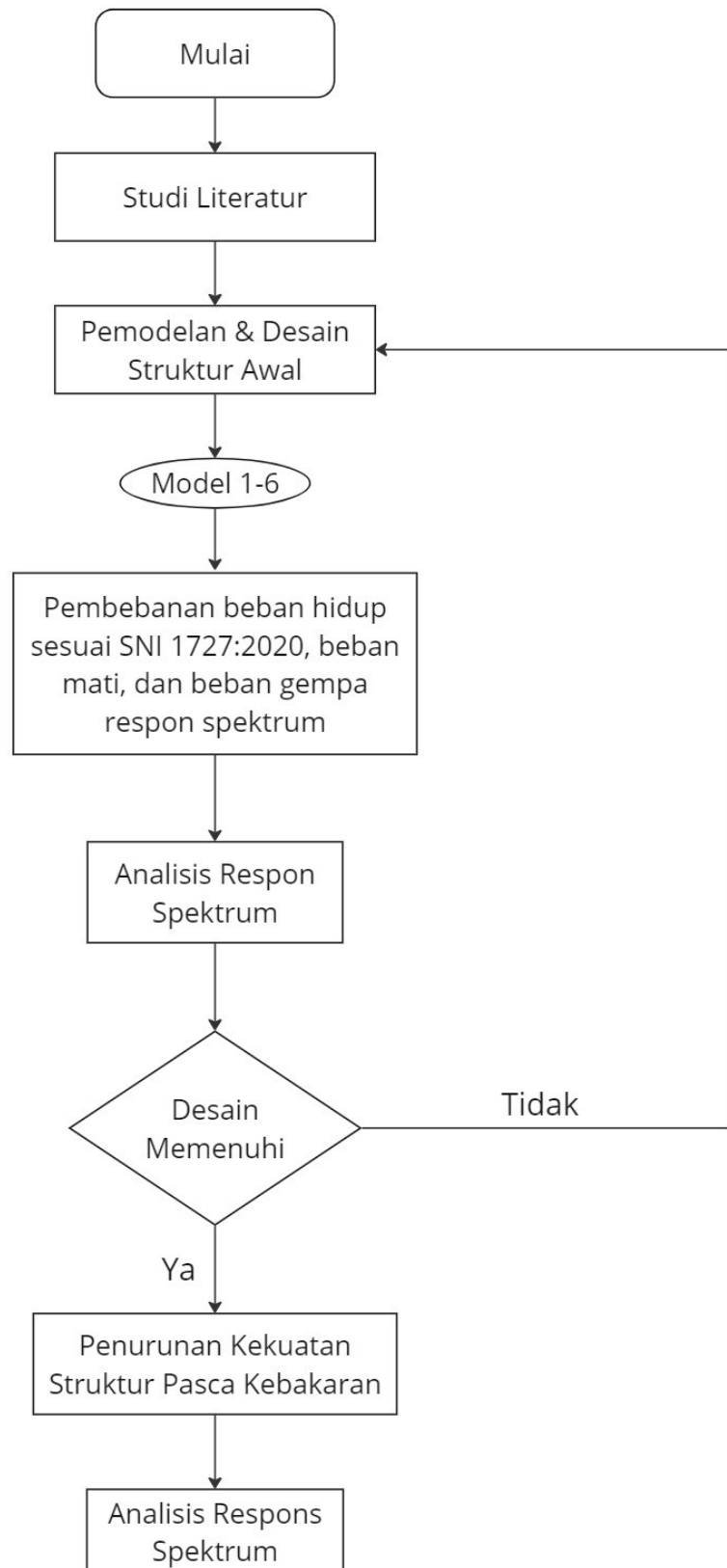
Studi literatur dilakukan untuk mendapatkan pemahaman yang mendalam tentang konsep-konsep kunci yang terkait dengan topik penelitian ini. Studi literatur dilakukan dengan membaca berbagai referensi yaitu jurnal, buku ilmiah, dan standar peraturan yang berlaku di Indonesia.

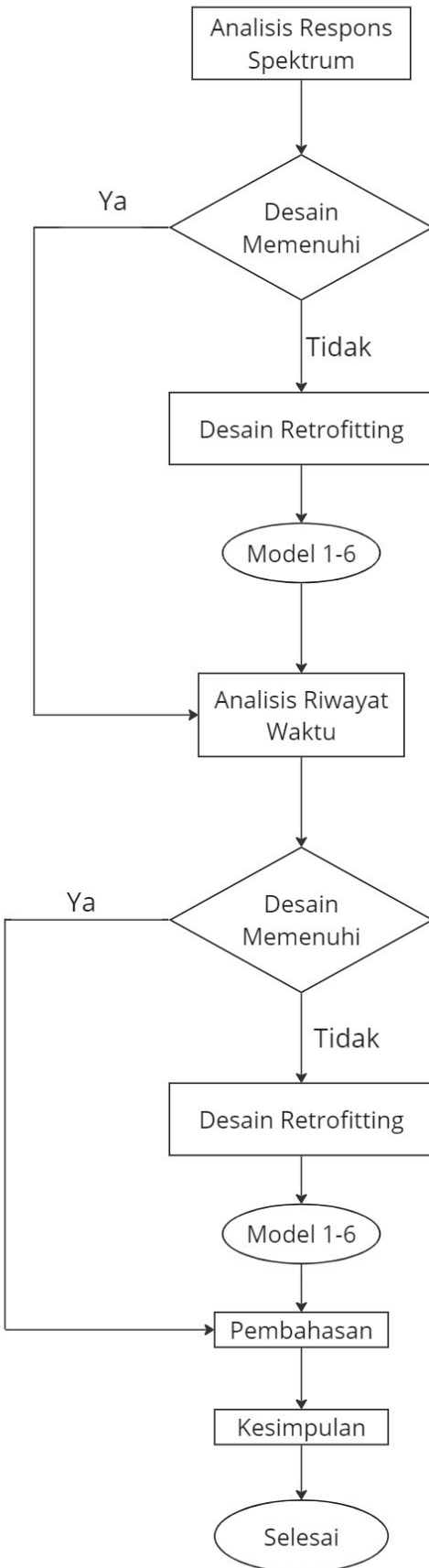
2. Studi Analisis

Studi analisis diterapkan pada penelitian ini menggunakan bantuan program analisis struktur yaitu ETABS serta program perhitungan Smath dan Excel untuk mengevaluasi performa *retrofit* gedung.



1.6 Diagram Alir





1.7 Sistematika Penulisan

- | | |
|---|--|
| BAB 1 | PENDAHULUAN |
| Bab ini terdiri dari latar belakang, masalah penelitian, tujuan penelitian, pembatasan masalah, metode penelitian, diagram alir, dan sistematika penulisan skripsi. | |
| BAB 2 | DASAR TEORI |
| Bab berisi tentang teori dasar yang didapatkan dari peraturan SNI, jurnal dan skripsi yang dipakai dalam penyusunan skripsi. | |
| BAB 3 | ANALISIS RESPON SPEKTRUM DAN RETROFIT |
| Bab ini berisi tentang pemodelan struktur menggunakan software ETABS 21, hasil analisis respons spektrum, dan <i>retrofit</i> dari analisis respons spektrum | |
| BAB 4 | ANALISIS RIWAYAT WAKTU DAN PEMBAHASAN |
| Bab ini berisi tentang hasil analisis riwayat waktu pada kelima rekaman gempa dan <i>retrofit</i> -nya | |
| BAB 5 | KESIMPULAN DAN SARAN |
| Bab ini berisi tentang kesimpulan atas hasil analisis dan saran yang ditujukan pada pembaca. | |